

## مکانیزم تشکیل ذرات $TiB_2$ در کامپوزیت زمینه فلزی $Al-TiB_2$ به روش آلیاژ-آلیاژ

مسعود امامی

استادیار گروه مهندسی متالورژی و مواد - دانشکده فنی -دانشگاه تهران  
همایون طاهبازفر

فارغ التحصیل کارشناسی ارشد گروه مهندسی متالورژی و مواد-دانشکده فنی-دانشگاه تهران

(تاریخ دریافت ۸۰/۴/۲، تاریخ تصویب ۸۱/۴/۱)

### چکیده

در این تحقیق، کامپوزیت  $Al-TiB_2$  از اختلاط دو آمیزان  $Al-B$  و  $Al-Ti$  به صورت مذاب تهیه گردید. نسبت  $Ti$  به  $B$  بگونه ای انتخاب گردید که ذرات  $TiB_2$  به صورت نسبتاً کاملی در زمینه آلومینیوم تشکیل گردد. آلیاژسازهای  $8\%Ti-Al-4\%B$  با نیز با استفاده از نمکهای  $K_2TiF_6$  و  $TiB_2$  ساخته شدند.

مطالعه نحوه تشکیل ذرات سرامیکی  $TiB_2$  با بکارگیری Hot Stage و میکروسکوپ نوری صورت گرفت. این امر امکان مشاهده مستقیم استحاله فازی را ممکن ساخته و از طریق ضبط تصاویر واقعی و مشاهده آن مکانیزم استحاله تعیین گردید. با استفاده از میکروسکوپ الکترونی مجهر به سیستم آنالیز EDAX، مطالعه تغییر حالت در نسبه های پس از انجام نیز میسر گردید.

بررسی صورت گرفته با سیستم Hot Stage نشان داد که حرکت اتمی بر (B) به سمت ذرات  $TiAl_3$  و ترکیب با آن موجب تشکیل ذرات  $TiB_2$  در فصل مشترک ذرات  $TiAl_3$  و زمینه آلومینیم میگردد. به این کوچک بودن شعاع اتمی عنصر بر (B) و امکان نفوذ آن از بین ذرات  $TiB_2$  دسترسی به تمام اتمهای مهاجر (B) در فصل مشترک پیشنهاده موجود بوده و محصول نهایی ذرات پس از این ریز  $TiB_2$  بویژه بصورت خوشه های آگلومره شده میباشد که بدلیل ماهیت گرمایی و اندسی و آزاد شدن حرارت در تکامل فرآیند تشکیل  $TiB_2$  این امر صورت می گیرد.

مطالعات میکروسکوپی در هنگام مشاهده شرایط واقعی فرآیند نشان می دهد که بدلیل تحرک ذرات  $TiB_2$  اولیه بر روی فار  $TiAl_3$  و جدا شدن راحت آنها از ذرات  $TiAl_3$ ، امکان رشد ذرات در این حالت بیشتر بوده و با نفوذ بر (B) به درون ذرات  $TiAl_3$ ، ذرات  $TiB_2$  ساخته شده در حین رشد خود با اتصال به ذرات  $TiB_2$  اولیه به صورت حلقه ای از ذرات آگلومره شده جایگزین ذرات بزرگ  $TiAl_3$  میگردد.

**واژه های کلیدی:** کامپوزیتهای زمینه فلزی، آلیاژهای آلومینیم، مکانیزم تشکیل ذرات  $TiB_2$ ، ریزساختار

### مقدمه

البته در کنار این مزایا معاویتی چون کاهش قابلیت ماشینکاری، خواص خستگی حرارتی ضعیف و قیمت بالا را نیز میتوان نام برد [۲۱].

استفاده از کامپوزیت بعنوان ماده مهندسی در نیمه دوم قرن بیستم شدت بیشتری یافت و در طی ۲۰ سال اخیر مطالعات گسترده ای بر روی انواع مختلف مواد کامپوزیتی زمینه فلزی انجام و روشهای متعددی مورد آزمایش قرار گرفته است. یکی از فرآیندهای شناخته شده روش درجا میباشد که جهت تولید کامپوزیتهای زمینه آلومینیومی در سال ۱۹۸۰ ابداع گردید [۲۲]. روشهای درجا به فرآیندهای

با پیشرفت سریع فن آوری همواره تولید مواد جدید با خصوصیاتی برتر مورد نظر بوده تا نیازهای صنایع مختلف را بخصوص در صنایع نظامی و هوا - فضا مرتفع سازد.

در مورد سازه های دینامیکی مانند هوایپما این نیاز بیشتر محسوس است، زیرا علاوه بر استحکام بالا مسئله سبکی نیز مطرح میباشد. کامپوزیتهای زمینه فلزی در مقایسه با آلیاژ زمینه دارای خواص بهتری از نظر مدول الاستیک، استحکام در دمای بالا و مقاومت در برابر اکسیداسیون میباشند.

شكل پذیری خوب در دمای محیط بوده و همراه با ۷٪ افزایش در مدول الاستیسیته و حفظ استحکامی تا دمای ۱۵۰ درجه سانتیگراد میباشد [۸].

فرآیند مهم دیگری که برای تولید کامپوزیت های زمینه آلومینیومی با ذرات سخت  $TiB_2$  عرضه شده است فرآیند مخلوط نمکها میباشد . در این فرآیند نمکهای متداول حاوی Ti و B بتریب  $K_2TiF_6$  و  $KBF_4$  میباشند [۹ و ۱۰]. مهمترین مزیت این کامپوزیت ریز بودن ذرات  $TiB_2$  (۵-۱۵ میکرون) میباشد که پایداری خوبی در آلومینیم مذاب داشته و با آن وارد واکنش نمیشود . این کامپوزیت قابلیت ماشینکاری خوبی داشته و همچنین از مقاومت به سایش خوبی برخوردار است [۱۱].

یکی از فرآیندهای مایع- جامد فرآیند آلیاژ-آلیاژ میباشد که هم در حالت مایع و هم پلاسمای (در درجه حرارت های بسیار بالا) انجام میگیرد [۱۲]. این روش نسبت به حالت پودری از سرعت کمتری برخوردار است و بدلیل ارزانتر بودن آلیاژ ها نسبت به پودر آنها روش اقتصادی تر است. در این پژوهش هدف اصلی مطالعه نحوه تشکیل ذرات  $TiB_2$  در زمینه آلومینیم خالص میباشد. از جمله عوامل مهمی که بر نحوه شکل گیری ذرات از طریق فرآیند درجا تأثیر دارند میتوان از ترکیب شیمیایی مواد ، درجه حرارت اختلاط، درجه حرارت فوق ذوب و زمان واکنش نام برد .

### روش تحقیق

برای ساخت آلیاژساز B ۴٪ wt Al از آلومینیوم خالص تجاری و نمکهای  $K_2TiF_6$  و  $KBF_4$  خالص استفاده گردید. نمکهای حاوی Ti و B به همراه مواد گدازآور و کریولیت به مذاب Al در کوره القایی اضافه گردیدند. عمل همزدن توسط سیستم القایی همراه با همزدن دستی بگونه ای مطلوب در مدت زمان ۳۰ دقیقه صورت گرفت تا واکنش بطور موثر انجام پذیرد. بعد از تهیه دو آمیزان، آنها را در دو بوته گرافیتی بطور جداگانه ذوب و سپس در بوته دیگری مخلوط نموده که با همزدن بوسیله میله گرافیتی کامپوزیت شکل گیرد. در این شرایط مخلوط دو آلیاژ در بک کوره الکتریکی نگهداشته شد تا واکنش تشکیل ذرات  $TiB_2$  کامل شود. در پایان واکنش بوته را از کوره خارج نموده و پس از عمل همزدن مجدد آلیاژ مذاب

متعددی تقسیم می گردد که روش آلیاژ - آلیاژ یکی از این فرآیندها میباشد که در سال ۱۹۸۷ توسط Bruppacher و همکارانش ابداع شد [۴].

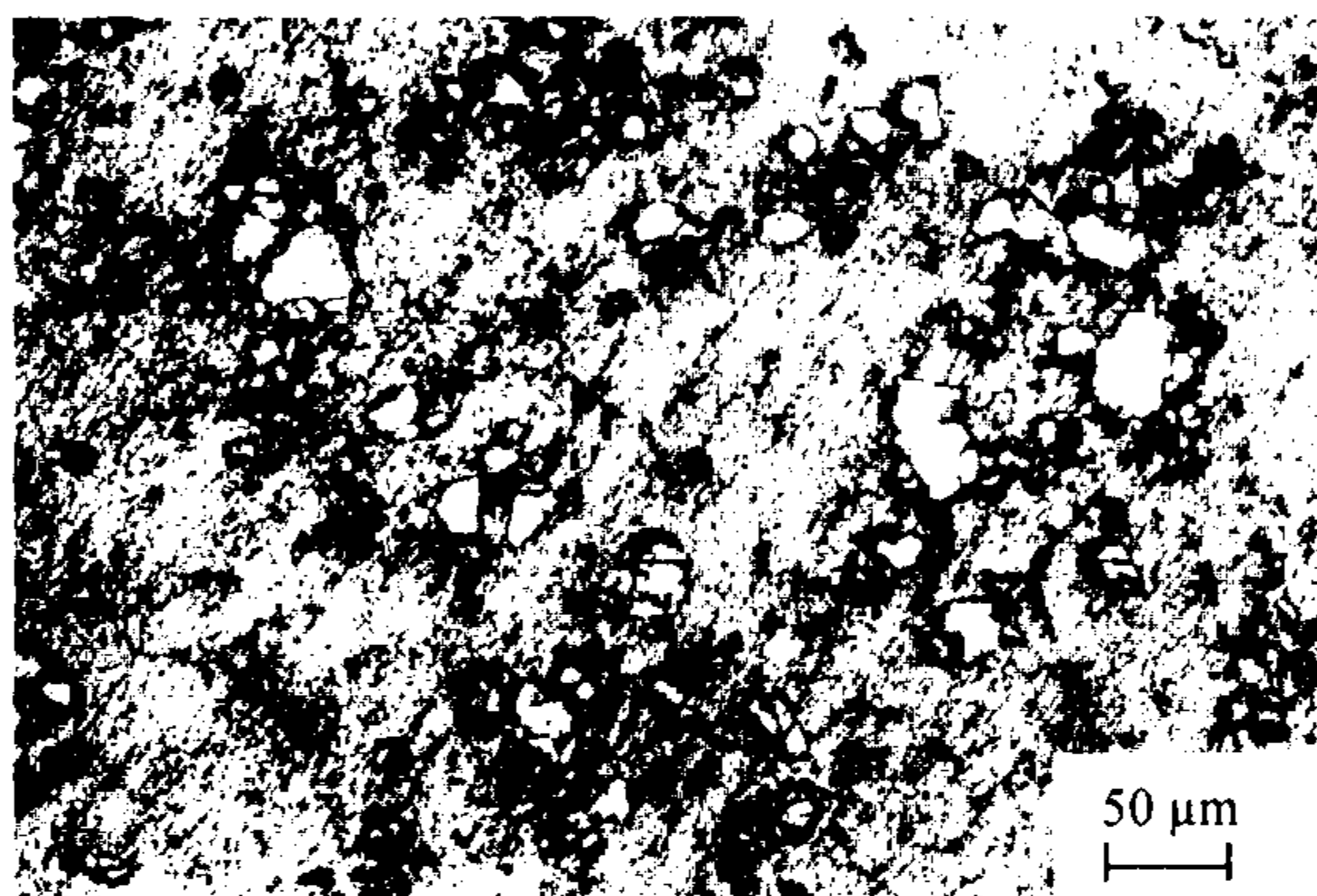
کامپوزیتهای تولید شده به روش درجا از پایداری ترموشیمیایی بالایی برخوردار بوده و برای کاربردهای پیشرفته سازه ای و سایشی مناسب می باشند. اختلاط مکانیکی الیاف و یا ذرات با زمینه های مختلف فلزی بگونه ایست که غالبا از نظر ترمودینامیکی پایدار نمی باشد، ولی چنانچه شرایط مساعدی برای جوانه زنی فاز دوم از فاز زمینه مادر ایجاد شود پایداری ترمودینامیکی بیشتری را میتوان انتظار داشت.

با طراحی مناسب و انتخاب آلیاژ زمینه و همچنین استفاده بهینه از ماده جامد، مایع و یا گاز واکنش دهنده محدوده وسیعی از کاربیدها، نیتریدها، اکسیدها، برایدها و سیلیکاتها را میتوان در فاز زمینه ایجاد نمود. با توجه به فاز دوم واکنشهای مختلفی بصورتهای مختلف گاز- مایع، مایع- جامد و مایع- مایع و غیره مشاهده و دسته بندی شده ، ولی اساسی ترین مبحث علمی در این مورد کنترل واکنش بویژه از نظر سینتیکی است، تا تشکیل گازها و شکل گیری فصل مشترک مورد نظر بگونه ای مطلوب صورت بگیرد . ذرات سرامیکی فاز دوم ترکیبها یی چون  $BN$ ،  $Si_3N_4$ ،  $SiC$ ،  $B_4C$ ،  $TiB_2$ ،  $TaC$ ،  $TiC$  درون آلیاژهایی مانند  $Al$ ،  $Cu$ ،  $Mg$  و  $Ni$  بعنوان زمینه توزیع میگردند . گسترش کامپوزیتهای نوع درجا نیازمند مطالعه بر روی اثر عوامل کننده سیستم بر پایداری و رشد فاز تقویت کننده سرامیکی است [۵]. فرآیندهای سیستم درجا متنوع بوده و بیش از ۸ روش از آن امروزه معرفی شده اند [۵].

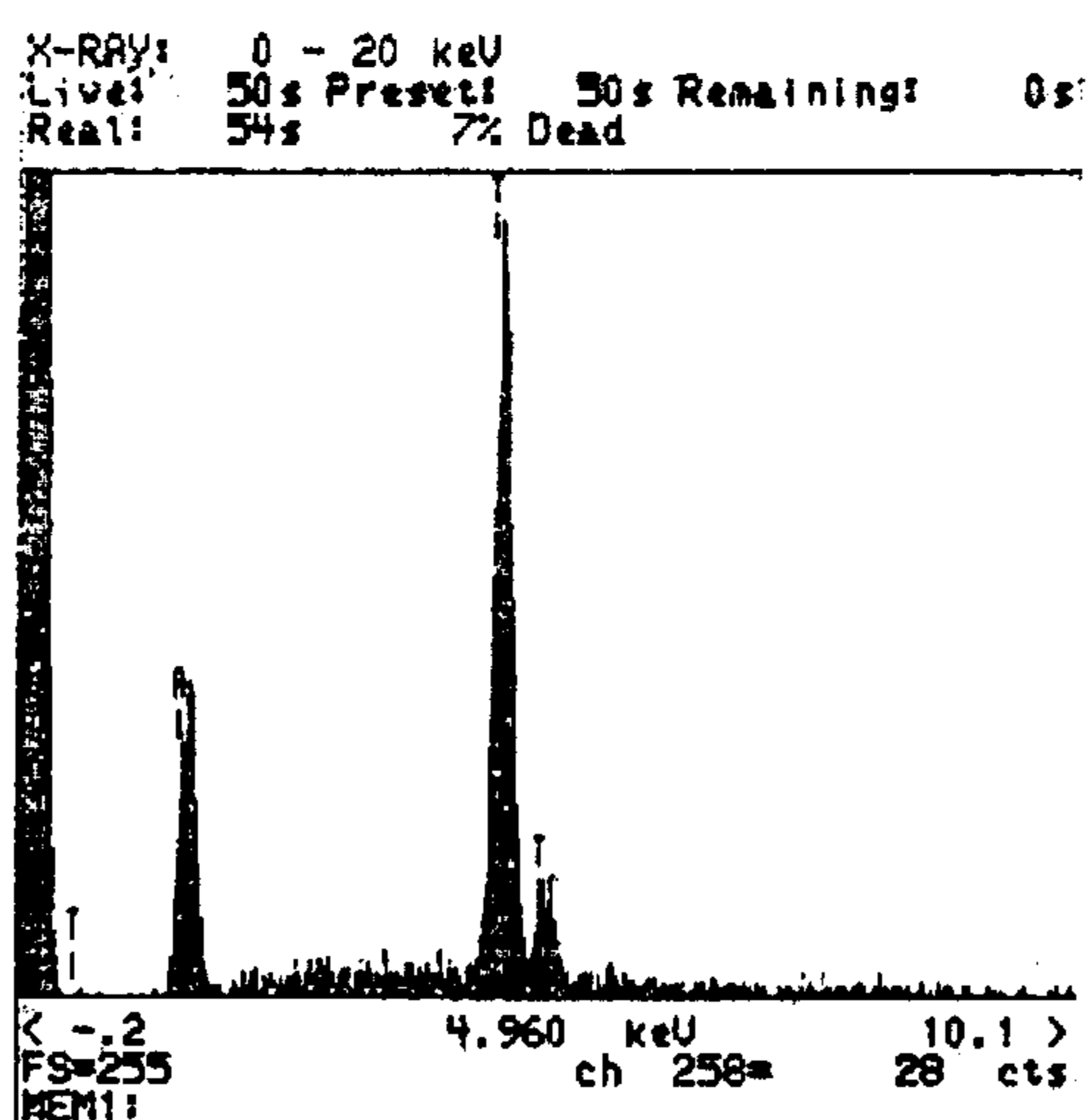
یکی از فرآیندهای شناخته شده، فرآیند  $XD^{\text{TM}}$  شرکت Martin Marietta میباشد [۶ و ۷]. بهترین مثال برای این فرآیند تشکیل ذرات  $TiB_2$  در زمینه آلومینیم و یا آلیاژهای آن است . با اختلاط پودر مواد حاوی بر و تیتانیم در محیط آلومینیم و حرارت دادن آن، نفوذ Ti و B و تشکیل  $TiB_2$  ممکن میشود . اندازه ذرات تقویت کننده  $TiB_2$  در این کامپوزیت، بین ۰.۱ الی ۰.۳ میکرون گزارش شده است. کامپوزیت  $Al-Ti4Vol\% TiB_2$  ساخته شده به این روش، در مقایسه با آلیاژ زمینه دارای خواص استحکامی و

نتیجه آنالیز EDX ذرات سفید رنگ  $TiAl_3$  در شکل (۲) ارائه گردیده است. همانگونه که شکل (۱) نشان میدهد اندازه ذرات  $TiAl_3$  بسیار بزرگ بوده و دارای ابعادی در حدود ۳۰ میکرون و بیشتر می باشد.

مطالعاتی که تا کنون گزارش شده نشان میدهد که معمولاً فاز  $TiAl_3$  در درون زمینه آلومینیم بصورت سوزنی شکل درشت تشکیل می گردد [۱۲] و این زمانی است که Ti مورد نیاز از اکسید تیتانیم ( $TiO_2$ ) بدست آمده باشد. در حالیکه حضور فعال K در نمک  $K_2TiF_6$  می تواند موجب اصلاح تیغه های  $TiAl_3$  شده و آنها را به ذراتی کوچکتر تبدیل کند. اصلاح ترکیبات بین فلزی با استفاده از عنصری مانند K, Sr, Na بارها مورد تأکید قرار گرفته است [۱۴].



شکل ۱: تصویر میکروسکوپ نوری آلیاژ Al-Ti، تهیه شده با استفاده از نمک  $K_2TiF_6$ .



شکل ۲: آنالیز EDX ذرات سفید رنگ  $TiAl_3$  در آلیاژساز . Al-Ti

در قالب‌های مورد نظر ریخته گری شدند. دمای اختلاط و باریزی در هر ذوب با هم مشابه بودند.

بمسنظور تعیین مکانیزم تشکیل ذرات  $TiB_2$ ، از میکروسکوپ نوری مجهز به Lietz Hot Stage مدل ۱۷۳۰ استفاده گردید. جهت مشاهده مستقیم استحاله توسط میکروسکوپ Hot Stage، نمونه ها را در شرایط درجه حرارت اختلاط و باریزی ۸۵° درجه سانتیگراد و زمان مکث (زمان بین اختلاط و ریخته گری) ۵ دقیقه نگهداشته تا تحت چنین شرایطی (دما و زمان کم) واکنش عملکامل نشده و ساختار انجامدی با حرارت دادن در سیستم Hot Stage مجدداً فعال گردد و در چنین شرایطی مشاهدات بصورت تصاویر ویدئویی ثبت و ضبط گردد.

در سیستم Hot Stage درجه حرارت آزمایش ۷۱° C و میزان خلاء  $10^{-4}$  میلی بار بود. در چنین شرایطی، از بزرگنمایی های ۴۰۰ و ۲۰۰ استفاده گردید.

همگام با مطالعه فاز در سیستم HotStage، نمونه های کامپوزیتی پس از ریخته گری و برش صیقلکاری شده و نهایتاً جهت ساختار میکروسکوپی حکاکی شدند.

بررسی ساختار میکروسکوپی نمونه ها در بزرگنمایی بالا توسط میکروسکوپ الکترونی روشی مدل CAMBRIDGES360 انجام گرفت. از این تصاویر به نظرور مقایسه اندازه ذرات  $TiB_2$ ، نحوه توزیع ذرات و پدیده آلگومره شدن استفاده شد. آنالیز EDAX نیز برای تفکیک فازها و ترکیبات ایجاد شده مورد استفاده واقع شد.

مطالعه فازهای متخلکه در نمونه های کامپوزیتی با استفاده از دستگاه دیفراکتومتر "Philips PW 1800" انجام شد که در آن اشعه تکفام  $Cu K\alpha$  بکار گرفته شده بود.

برای تعیین قطر متوسط درشت ترین ذرات  $TiB_2$  از روش بکار گرفته شده در مرجع [۱۲] استفاده شد.

جدول (۱) ترکیب شیمیایی فلز زمینه و آمیزان های ساخته شده را نشان می دهد.

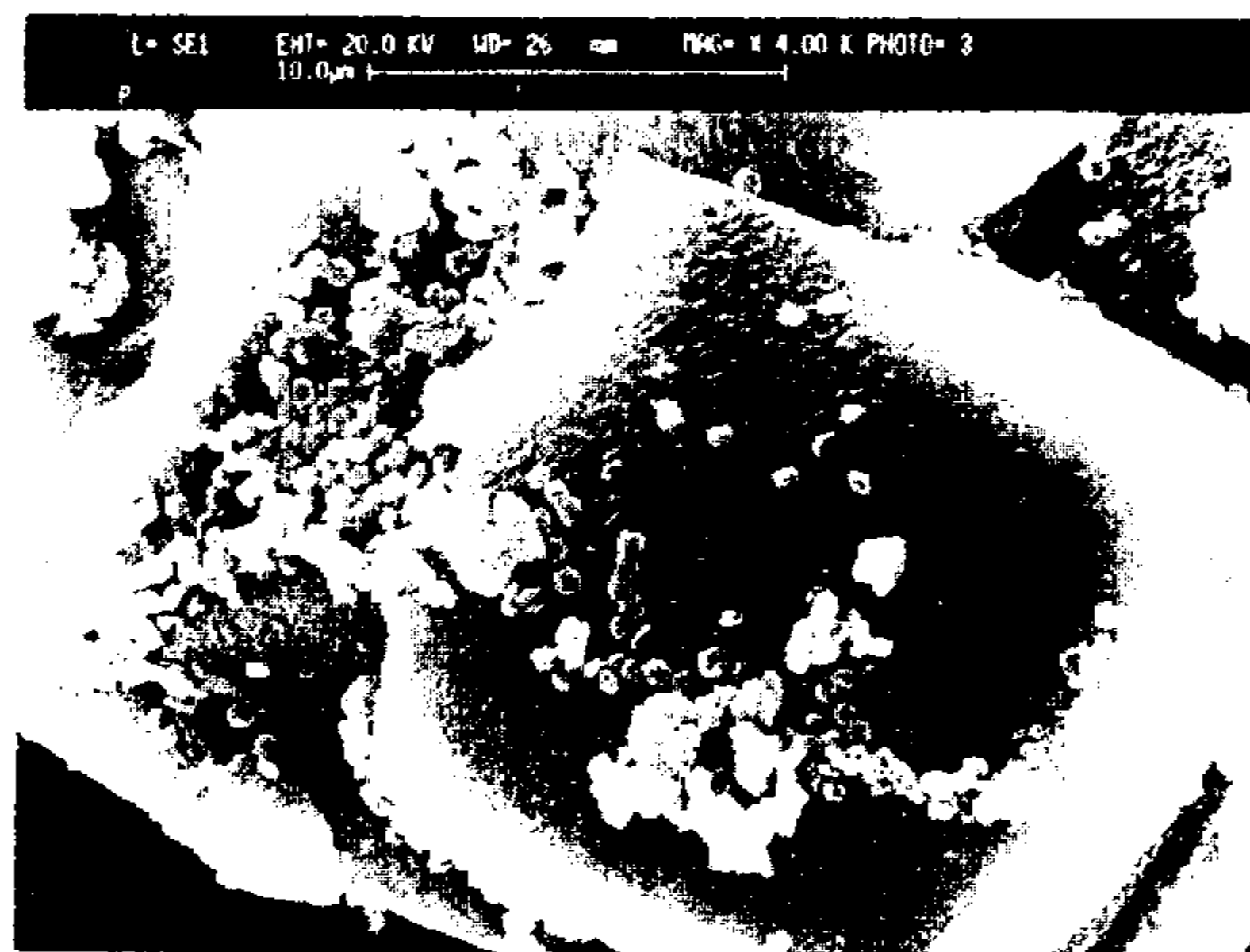
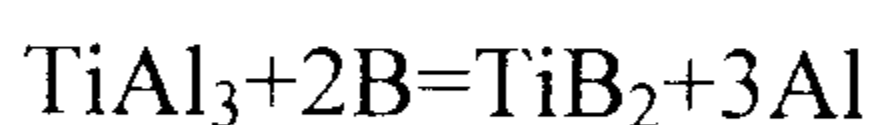
## نتایج و بحث

شکل (۱) تصویر میکروسکوپ نوری آلیاژساز Al-Ti را نشان می دهد که با استفاده از نمک  $K_2TiF_6$  بدست آمده است.

جدول ۱: ترکیب شیمیایی مواد اولیه مورد استفاده جهت ساخت کامپوزیت.

ترکیب شیمیایی	نوع ماده
Si 0.06%, Fe 0.2%, Mn 0.03%, Ti 0.02%, V 0.01, Cu 0.01%, Mg 0.01%, Al: Rem.	فلز زمینه
B 4%, Si 0.3%, Fe 0.5%, Mn 0.2%, Ti 0.12%, Cu 0.1%, Mg 0.1%, Al: Rem.	آمیران B
Ti 8%, Si 0.1%, Fe 0.5%, Mn 0.2%, Cu 0.1%, Mg 0.1%, Al: Rem.	آمیران Ti

همانگونه که در شکل (۳) دیده می شود می توان پیش بینی نمود که با ایجاد شرایط مناسب نفوذ (درجه حرارت و زمان مناسب) اتمهای B محلول در مذاب به طرف ذرات  $TiAl_3$  حرکت و با نفوذ در آن با  $Ti$  موجود در  $TiAl_3$  صورت زیر وارد واکنش شده و ذرات  $TiB_2$  را تشکیل دهند.



شکل ۵: تصویر SEM ذرات استخراج شده از نمونه ریختگی از ماده کامپوزیتی  $Al-TiB_2$ ، نشان دهنده ذرات  $TiB_2$  بر روی ذرات درشت  $TiAl_3$ .

شکل (۶) تصاویر انتخاب شده از فیلم آزمایش Hot Stage را ارائه می کند که مراحل تجزیه ذرات  $TiAl_3$  و تشکیل ذرات  $TiB_2$  را با گذشت زمان نشان می دهد.

تصاویر ویدیوئی به خوبی نشان می دادند که ذرات ریزتر  $TiAl_3$  سریعتر وارد واکنش شده و ذرات  $TiB_2$  با سرعت رشد بیشتری تولید می شوند. در چنین شرایطی وجود عناصر اصلاح کننده با ریز نمودن ترکیب بین فلزی  $TiAl_3$  هجوم اتمهای بر را به مرزهای بیشتری از این فاز تسهیل نموده و تشکیل کامپوزیت و یکنواختی بیشتر آنرا در توزیع ذرات  $TiB_2$  در زمینه موجب می گردد.

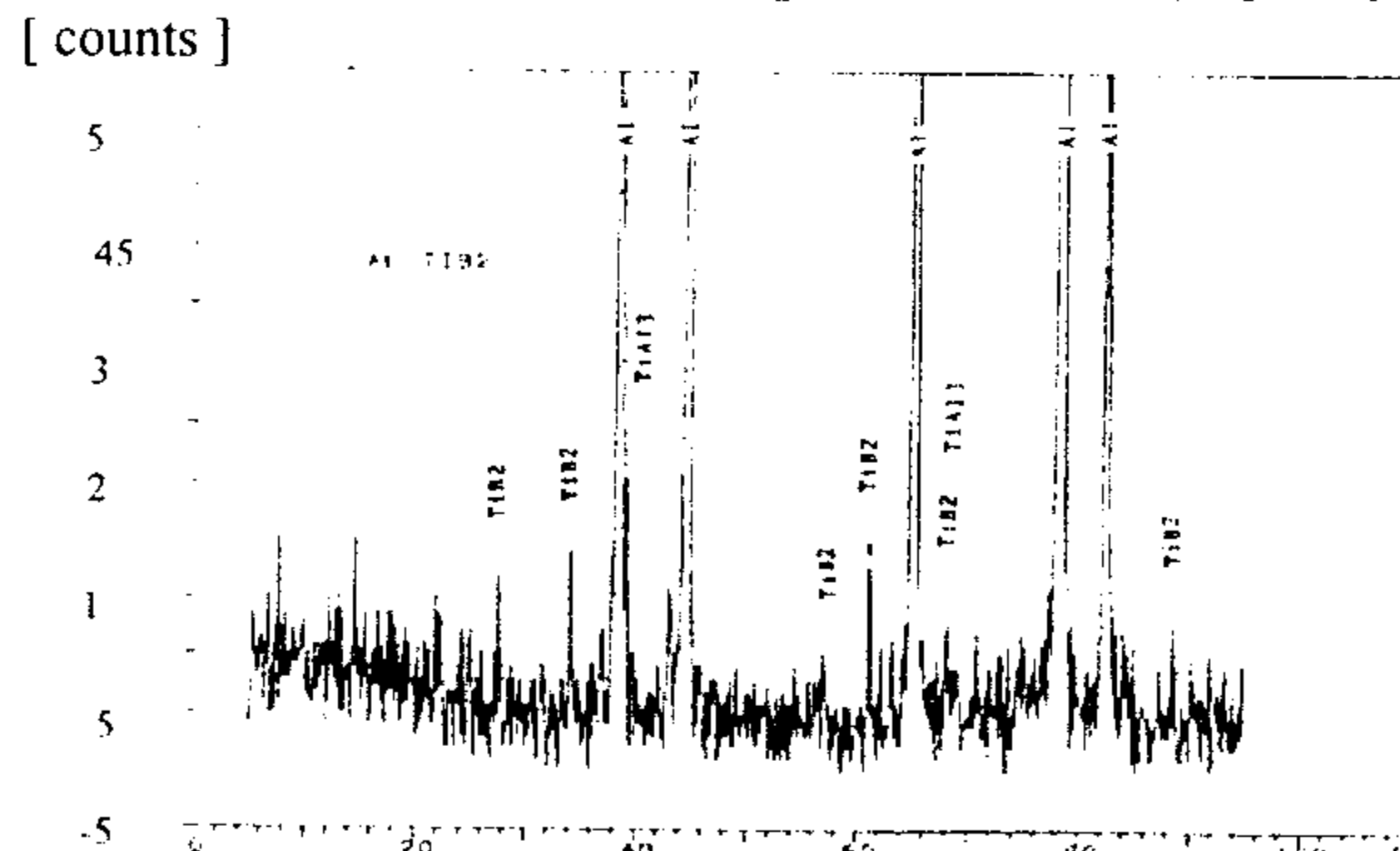
امکان تشکیل ذرات  $TiAl_3$  در حالت جامد مزیت بزرگی

شکل های (۳) و (۴) تصاویر SEM نمونه کامپوزیتی  $Al-TiB_2$  و همچنین الگوی تفرق اشعه X این نمونه را که در شرایط درجه حرارت اختلاط و باریزی ۹۰۰ درجه سانتیگراد با زمان نگهداری ۱۵ دقیقه تهیه شده اند را نشان می دهد.



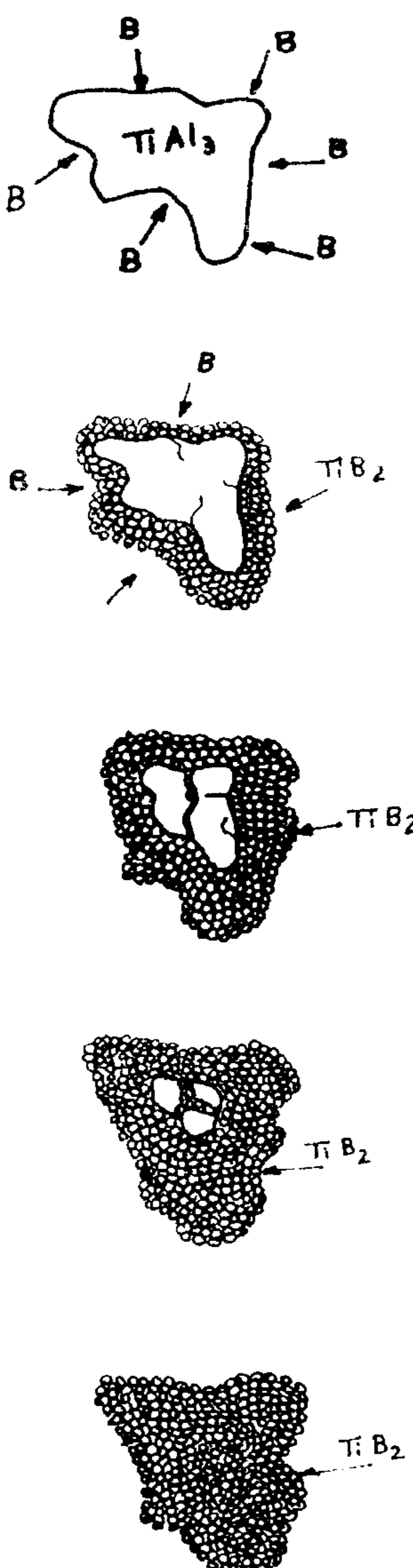
شکل ۳: تصویر SEM نمونه ریختگی از ماده کامپوزیتی  $Al-TiB_2$ .

شکل (۵) نیز تصویر SEM از ذرات استخراج شده از نمونه توسط انحلال آن در اسید فلورئیدریک غلیظ را نشان می دهد. این شکل نمایانگر ذرات  $TiB_2$  هگزاگونال ریز با قطر کمتر از ۳ میکرون در کنار ذرات بسیار بزرگ  $TiAl_3$  با قطر بیش از ۲۰ میکرون می باشد.



شکل ۴: الگوی تفرق اشعه X نمونه کامپوزیتی.

علاوه بر ذوب اجزا دیگر، سبب شدیدتر شدن واکنش بین سازنده‌ها با فاز دوم سرامیکی می‌گردد. در کامپوزیت Al-TiB<sub>2</sub> واکنش بین تیتانیم و بر(B) در دماهای حدود ۶۵۰ درجه سانتیگراد اتفاق می‌افتد، در حالیکه در غیاب آلومینیوم تشکیل TiB<sub>2</sub> در درجه حرارت‌های کمتر از ۱۲۰۰ درجه سانتیگراد امکان پذیر نیست [۱۲].



شکل ۷: تصویر شماتیک از مراحل تشکیل کامپوزیت Al-TiB<sub>2</sub> در حالت جامد (از بالا به پایین).

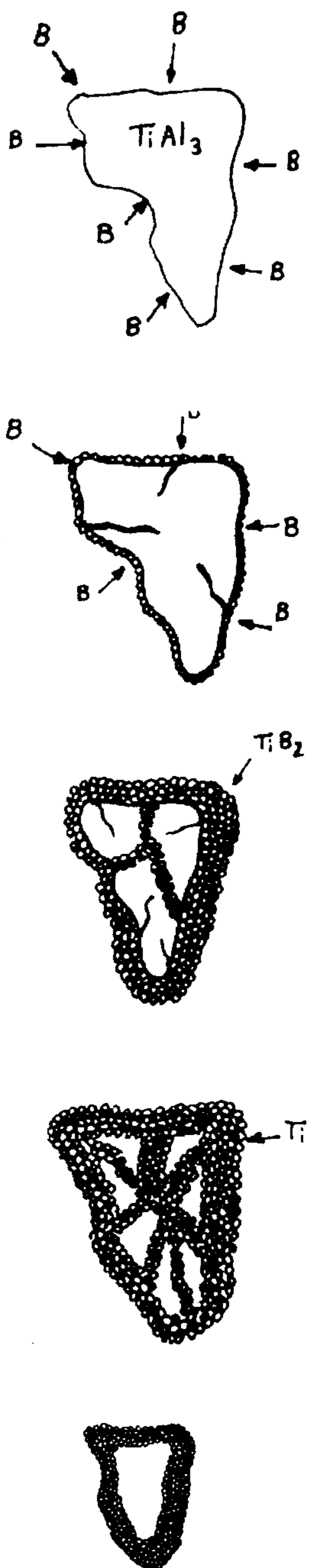
پس از اتمام واکنش بین عناصر تیتانیم و بر(B)، درجه حرارت کاهش یافته که این مرحله روی میزان رشد و اندازه نهایی ذرات TiB<sub>2</sub> مؤثر است. می‌توان نرخ سرد

است که با کمک آن می‌توان مخلوط را تا درجه حرارتی که امکان نفوذ عناصر فراهم شود حرارت داده و واکنش را جهت ساخت کامپوزیت در درجه حرارت‌های پایین تراز حد انتظار پیش برد.



شکل ۶: مراحل تغییرات استحالة یک ذره TiAl<sub>3</sub> در سیستم HotStage را نشان می‌دهد که در اثر حرارت و با گذشت زمان اندازه و شکل آن در حال تغییر است. (از بالا به پایین)

در این حالت سازنده سرامیکی به راحتی در حدود درجه حرارت‌های ذوب فلز حلal ترکیب شده و طبیعت گرمایی این واکنش موجب افزایش سریع درجه حرارت گشته و



شکل ۹: تصویر شماتیک از مراحل تشکیل کامپوزیت  $\text{Al}-\text{TiB}_2$  در حالت مایع (از بالا به پایین).

عبور نموده و خود را به این ذره برسانند. در نتیجه رشد آنها متوقف و درشت شدن این ذرات به مراحل اولیه واکنش منحصر می‌گردد. در شرایط واقعی که استحاله تبدیل  $\text{TiAl}_3$  به  $\text{TiB}_2$  در حالت مذاب کامل در فرآیند

شدن را تا اندازه‌ای با تغییر مقدار توده مواد مخلوط شده، کنترل نمود به طوری که جرم‌های بزرگتر به دلیل ظرفیت گرمایی بیشتر سرعت سرد شدن کمتری را ارائه نماید.

شکل (۷) بصورت شماتیک نحوه تشکیل ذرات  $\text{TiB}_2$  را با توجه به اطلاعات میکروسکپ Hot Stage نشان می‌دهد. با توجه به اینکه استحاله در حالت فلز جامد صورت می‌گیرد مراحل را می‌توان بصورت زیر تشریح نمود:

- حرکت اتمهای بر به سمت ذرات  $\text{TiAl}_3$
- تشکیل ذرات  $\text{TiB}_2$  در فصل مشترک ذرات  $\text{TiAl}_3$  و زمینه آلومینیومی
- نفوذ بر از میان ذرات  $\text{TiB}_2$  به دلیل کوچک بودن قطر اتمی آن
- ادامه روند تشکیل ذرات  $\text{TiB}_2$ ، آگلومراسیون ذرات  $\text{TiB}_2$  بدلیل آزاد شدن گرمای ناشی از واکنش اگزوترمیک

شکل (۸) آگلومراسیون ذرات  $\text{TiB}_2$  را نشان می‌دهد.

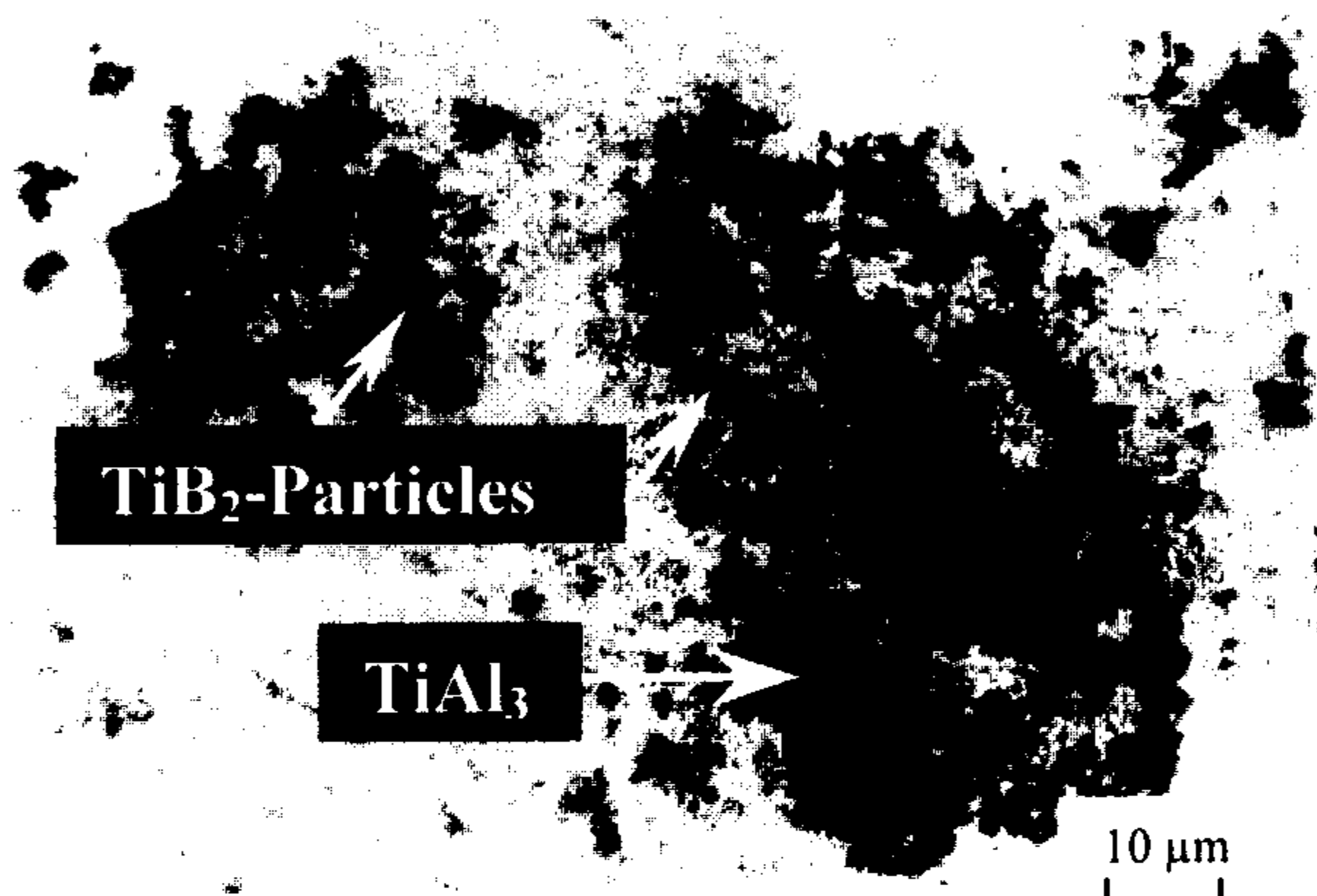


شکل ۸: تصویر SEM از ذرات ریز  $\text{TiB}_2$  در نمونه کامپوزیت  $\text{Al}-\text{TiB}_2$ .

اگر فرض شود مدتی از شروع واکنش گذشته و نیمی از قطر ذره  $\text{TiAl}_3$  به ذرات آگلومره شده  $\text{TiB}_2$  تبدیل شده باشد عنصر بر به راحتی از میان ذرات  $\text{TiB}_2$  عبور نموده و با ذره  $\text{TiAl}_3$  در فصل مشترک جدید واکنش می‌دهد.

اگر یک ذره  $\text{TiB}_2$  را که در مراحل اولیه فرآیند تشکیل شده در نظر بگیریم، با پیشروی واکنش این ذره از ذره  $\text{TiAl}_3$  اولیه دور شده و لایه‌های آگلومره شده ذرات  $\text{TiB}_2$  بین آنها قرار می‌گیرد. این ذره برای ادامه رشد خود نیازمند اتمهای B است. اتمهای B به علت قطر اتمی کوچک در دسترس بوده ولی اتمهای Ti بعد از تجزیه  $\text{TiB}_2$  بدلیل قطر اتمی بزرگتر نمی‌توانند از میان ذرات  $\text{TiB}_2$

سپس در ادامه فرآیند ترکها گسترش یافته و موجب تکه تکه شدن ذرات  $TiAl_3$  می‌گردند. این امر نیز سطوح جدیدی را ایجاد نموده که باعث افزایش نطفه‌های سازنده ذرات ریز  $TiB_2$  می‌گردد. این روند مجدداً تکرار شده و باز ذرات جدید  $TiB_2$  با ابعاد ریزتر حاصل می‌شوند. نتیجه خرد شدن مکرر ذرات  $TiB_2$  این است که ریزساختار نهایی کامپوزیت دارای محدوده وسیعی از ابعاد می‌باشد.



شکل ۱۰: تصویر میکروسکوپ نوری نمونه کامپوزیتی، حضور حلقه‌های حاوی ذرات ریز  $TiB_2$  و ذرات شکسته شده  $TiAl_3$  را در درون زمینه آلومینیمی نشان میدهد.

**تشکر و قدردانی**  
این تحقیق بخشی از طرح تحقیقاتی مصوب دانشگاه تهران است. لذا نویسندهای این مقاله از معاونت محترم پژوهشی دانشگاه و نیز معاونت پژوهشی دانشکده فنی تشکر و قدردانی می‌نمایند.

مایع به مایع صورت می‌گیرد، تفاوت در ریزساختار را می‌توان پیش‌بینی نمود. این تفاوت در ریزساختار به دلیل امکان حرکت ذرات  $TiB_2$  در مذاب است که در حالت جامد (با استفاده از میکروسکوپ Hot Stage) وجود ندارد. در حالت مایع ذرات  $TiB_2$  که تمایل زیادی به کاهش سطح خود دارند، پس از تشکیل از ذره  $TiAl_3$  جدا شده و در حالیکه رشد می‌کنند به طرف ذرات  $TiB_2$  که در مراحل اولیه فرآیند تشکیل شده اند حرکت می‌کنند و به آنها می‌چسبند و در نهایت به صورت حلقه‌ای از ذرات  $TiAl_3$  جایگزین ذرات  $TiB_2$  می‌شوند. شکل (۹) بصورت شماتیک تشکیل ذرات  $TiB_2$  را نشان می‌دهد.

مشاهده می‌شود که پس از حمله اتمهای بر (B) به آنها ابتدا ترک خورده، سپس این ترکها اشاعه یافته و سبب تکه تکه شدن ذرات  $TiAl_3$  می‌شوند. آنگاه ذرات بر (B) به سطح این ذرات هجوم برده و واکنش Ti و B با تشکیل لایه‌ای از ذرات  $TiB_2$  در سطح این ذرات تکه تکه شده دوباره آغاز می‌شود.

شکل (۱۰) حضور ذرات  $TiB_2$  را در کنار ذرات  $TiAl_3$  خرد شده در درون زمینه آلومینیمی نشان می‌دهد.

### نتیجه گیری

- با مخلوط کردن مذاب آلیاژسازهای Al-B و Al-Ti و ایجاد شرایط مناسب برای نفوذ عناصر Ti و B، کامپوزیت  $Al-TiB_2$  قابل تهیه می‌باشد.
- سرعت زیاد نفوذ عنصر بر (B) و مهاجرت آسان آن به مرزهای  $TiAl_3$ ، تجزیه این فاز را موجب شده و تشکیل ذرات  $TiB_2$  را در فصل مشترک امکان پذیر می‌سازد.
- مشاهدات بعمل آمده با بکارگیری میکروسکوپ نوری مجهز به Hot Stage نشان داد که پس از هجوم اتمهای بر (B) ابتدا ترکهایی بر روی سطح ذرات  $TiAl_3$  ایجاد شده،

### مراجع

- 1 – Taya, M. and Aresenault, R. J. (1989). *Metal matrix composite, thermo-mechanical behaviour*, Oxford.
- 2 – Luster, J. W., Thumann, M. and Bhaumann, R. (1993). *Mat. Sci. Tech.*, Vol. 9, PP. 853-861.
- 3 - Kelly, A. (1994). *Concise encyclopedia of composite materials*. Revised. PP. 853-861.
- 4 - Brupbacher, J. M. (1987). *U.S. Patent 4, 710, 348*.

- 5 - Koczak, M. J. and Prekumar, M. K. (1993). *JOM*, PP. 44-48.
- 6 - Christodoulou, L. (1988). *U.S. Patent* 4, 751, 048.
- 7 - Bruppacher, J. M. (1989). *U.S. Patent* 4, 836, 982.
- 8 - Langan, T. J. and Pickens, J. R. (1991). *Scripta Metall.* Vol.25, PP. 1587-1591.
- 9 - Lee, M. S. Terry, B. S. and Grieveson, P. (1993). *Metall. Trans. B.*, Vol. 24B, PP. 947-955.
- 10 - Koczak, M. J. and Prekumar, M. K. (1993). *JOM*, PP. 44-48.
- 11 - Bruppacher, J. M. et al. (March 1989). *U.S. Patent* 4, 808, 348.
- 12 – Sahoo, P. and Koczak, M. J. (1990). *Proc. Confe. On advanced metal and ceramic matrix composites*, Metallurgical Society of AIME, Warrendale, PA, USA, P. 141.
- ۱۳ - طاهبازفر، ه. پایان نامه کارشناسی ارشد مهندسی متالورژی و مواد، دانشکده فنی ، دانشگاه تهران (۱۳۷۷).
- ۱۴ - شبستری، س. نشریه آلمینیوم، زمستان، ص ۳۰-۴۰، (۱۳۷۵).

### واژه های انگلیسی به ترتیب استفاده در متن

1 - In Situ